

## ИНДУЦИРОВАННОЕ ИЗЛУЧЕНИЕ РЕЛЯТИВИСТСКИХ ЭЛЕКТРОНОВ В КРИСТАЛЛИЧЕСКОМ РЕЗОНАТОРЕ РАСПРЕДЕЛЕННОЙ ОБРАТНОЙ СВЯЗИ. РЕЖИМ ГОРЯЧЕГО ПУЧКА

*В. Г. Барышевский, И. Я. Дубовская, А. В. Зеге*

Построена теория индуцированного рентгеновского излучения релятивистских электронов в кристалле в режиме горячего пучка. В геометрии дифракции Брэгга кристалл играет роль резонатора распределенной обратной связи. В режиме слабого усиления получены выражения для порогов генерации с учетом многократного рассеяния и для случая прохождения частиц в тонкой цели внутри кристалла. Показано, что применение неодномерной геометрии позволяет добиться заметного уменьшения порога генерации по сравнению с одномерной геометрией. Оценки показывают, что для реализации рассматриваемой схемы необходимо увеличение яркости электронного пучка в накопительных колышах более чем на порядок.

### Введение

На основе явлений индуцированного излучения в магнитостатическом вигглере на сегодняшний день успешно действуют лазеры на свободных электронах (ЛСЭ) в диапазоне от инфракрасного до мягкого ультрафиолетового излучения. Потенциальная возможность перенесения принципов ЛСЭ на рентгеновский диапазон была осознана и обсуждалась еще в пионерской работе [1]. В последние годы эта задача исследовалась в значительном числе работ [2—4]. Основная трудность для достижения генерации в рентгеновском диапазоне связана с падением усиления ЛСЭ при укорочении длины волны излучения

$$G \sim \lambda^{3/2}. \quad (1)$$

Компенсация падения усиления в принципе может быть достигнута за счет увеличения добротности резонатора. Напомним, что порог генерации в режиме слабого усиления, например для резонатора Фабри—Перо, составляет

$$G_t \simeq \frac{1}{R^2} - 1. \quad (2)$$

где  $R$  — коэффициент отражения зеркала.

Из (2) видно, что при  $1 - R \ll 1$  генерация может возникать и для  $G \ll 1$ .

Согласно экспериментам на многослойных структурах [5], а также расчетам для изогнутых металлических поверхностей [6] и многофасеточных отражателей [7], максимальная величина коэффициента отражения в диапазоне  $\lambda \sim 100\text{\AA}$  составляет  $R \sim 0.6$ . В соответствии с (2) это требует усиления  $G_t \sim 1.8$ . В работах [3, 4] оцениваются параметры, необходимые для получения усиления  $G=1$  в ЛСЭ с электромагнитным вигглером в диапазоне длин волн  $\lambda = 100 \div 500 \text{\AA}$ . Оценки показывают, что для такого усиления требуется очень высокое качество пучка, на сегодняшний день еще не достигнутое. В диапазоне  $\alpha \sim 1 \text{\AA}$  существует созданное самой природой рентгеновское зеркало-кристалл. Для отражения назад коэффициент отражения кристалла может достигать величин  $R \sim 0.95$ , что соответствует пороговому усилинию  $G_t \sim 0.1$ . Это уменьшение порога недостаточно

велико, чтобы компенсировать падение усиления, составляющее, согласно (1), три порядка по сравнению с мягким рентгеном. Однако кристалл может быть использован не только как зеркало в резонаторе Фабри—Перо. Он может служить также резонатором распределенной обратной связи (РОС). При этом активная среда пространственно совмещена с элементом обратной связи (обратная связь обеспечивается отражением излучения от кристаллических плоскостей, играющих в этом случае роль, аналогичную роли зеркал в резонаторе Фабри—Перо). Само понятие РОС было введено в [8] применительно к оптическому диапазону. Возможность использования кристалла в качестве резонатора РОС для рентгеновского лазера впервые была отмечена в [9]. Во всех работах по РОС лазерам традиционно рассматривается одномерная геометрия, когда вектор  $\tau$  обратной решетки периодической структуры коллинеарен волновому вектору  $k$  волны (отражение назад). В работе [10] впервые высказана идея использования неодномерной РОС для уменьшения порогового усиления в рентгеновском лазере на пучке релятивистских канализированных в кристалле частиц. Согласно [11], аналогичная ситуация имеет место для любых типов ЛСЭ. Отражение под произвольным углом (векторы  $k$  и  $\tau$  неколлинеарны) дает возможность изменения длины волны излучения при изменении угла падения. Поскольку порог генерации в кристалле имеет как функция длины волны резкий минимум, то эта свобода, сама по себе достаточно важная, оказывается тем более существенной. Так, значение порога генерации в минимуме составляет, согласно нашим оценкам,  $G_t \sim 5 \cdot 10^{-4}$ , что заметно меньше, чем отражение назад. В разделе 1 изложены постановка задачи, ее кинематика и геометрия, получено общее дисперсионное уравнение. В разделе 2 записаны граничные условия и условие генерации, в разделе 3 получены выражения для порогов генерации. В разделе 4.1 проведено обсуждение смысла формул для порогов генерации, в разделе 4.2 сделаны оценки пороговых токов при учете многократного рассеяния в среде. В разделе 4.3 проводится обсуждение параметров задачи для пучка, распространяющегося внутри узкой щели в кристалле. Наши оценки показывают, что главным препятствием к получению индуцированного излучения при помощи обсуждаемой схемы является недостаточное качество существующих электронных пучков.

## 1. Дисперсионные уравнения

Пусть пучок электронов со средней скоростью  $u_0$  проходит через трехмерно-периодическую среду (кристалл, объемная решетка), помещенную во внешнее поле. Векторный потенциал внешнего поля записывается в одной из двух следующих формул: 1) магнитостатический вигглер

$$A = A_w x \sin k_w r, A_w = B_w / k_w, k_w = 2\pi / \lambda_w, x \cdot u_0 = 0,$$

где  $B_w$  — среднеквадратическая напряженность магнитного поля,  $\lambda_w$  — длина волны вигглера ( $x, y, z$  — орты декартовой системы координат); 2) электромагнитный вигглер

$$A = A_e x \sin (k_e r - w_e t), A_e = E_e / w_e \quad (c = 1),$$

где  $E_e$  — амплитуда напряженности электрического поля электромагнитной волны,  $w_e$  и  $k_e$  — соответственно ее частота и волновой вектор.

Внешнее поле возбуждает колебания электронов с поперечной скоростью

$$v_{\perp} = -\frac{eA}{m\gamma_0}, \gamma_0 = (1 - v_0^2)^{-1/2}.$$

Движущийся осциллятор испускает электромагнитные излучения, частота  $\omega$  и волновой вектор  $k$  которого удовлетворяют условию синхронизма:

$$\omega - \mathbf{k}u_{\parallel} = \Omega, \quad \Omega = \begin{cases} \mathbf{k}_w u_{\parallel} & (\text{для магнитостатического вигглера}), \\ \omega_e + \mathbf{k}_e u_{\parallel} & (\text{для электромагнитного вигглера}), \end{cases} \quad (3)$$

где продольная скорость электрона  $u_{\parallel} = u_0(1 - a_w^2/\gamma^2)$  (соответствующий ей продольный лоренц-фактор  $\gamma_{\parallel}^p = \gamma^2/(1 + a_w^2)$ ,  $a_w = (e|A|)/m$  — так называемый ондуляторный параметр,  $k = n(\omega)\omega$ ,  $k_e = n(\omega_e)\omega_e$ ,  $|n(\omega) - 1| \ll 1$ .

Из (3) следует

$$\omega = \Omega / \left( \frac{1}{2\gamma_{\parallel}^2} + \frac{\theta^2}{2} + 1 - n(\omega) \right) \gg \Omega,$$

где  $\theta = k_u$  — угол излучения, который мы в дальнейшем положим равным нулю.

Ориентируя кристалл и выбирая соответствующим образом параметры задачи, можно добиться, чтобы для некоторой системы кристаллических плоскостей (характеризуемой вектором обратной решетки  $\tau$ ) выполнялось условие Вульфа—Брэгга  $(k + \tau)^2 - k^2 = 0$ . При выполнении этого условия кристалл становится резонатором РОС. Одновременно удовлетворение кинематическим условиям — синхронизма и Вульфа—Брэгга приводит к возможности индуцированного излучения.

Система уравнений Максвелла и уравнений движения, описывающая излучательную неустойчивость пучка в кристалле, имеет вид [12]

$$rot \mathbf{B} = \frac{\partial \mathbf{D}}{\partial t} + 4\pi \mathbf{j}, \quad rot \mathbf{E} = -\frac{\partial \mathbf{B}}{\partial t}, \quad div \mathbf{D} = 4\pi\rho, \quad div \mathbf{B} = 0, \quad (4)$$

$$\frac{\partial f}{\partial t} + \mathbf{v} \frac{\partial f}{\partial \mathbf{r}} + \frac{\partial \mathbf{p}}{\partial t} \frac{\partial f}{\partial \mathbf{p}} = 0, \quad (5)$$

$$\frac{d\mathbf{p}}{dt} = e(\mathbf{E} + \mathbf{v} \times \mathbf{B}). \quad (6)$$

Здесь  $e$  — заряд электрона;  $\mathbf{E}$ ,  $\mathbf{B}$ ,  $\mathbf{D}$  — векторы напряженности электрического, индукции магнитного и индукции электрического поля в кристалле соответственно;  $\rho(\mathbf{r}, t)$  и  $\mathbf{j}(\mathbf{r}, t)$  — плотности электрического заряда и электрического тока пучка, связанные следующим образом с функцией распределения по координатам и импульсам:

$$\rho(\mathbf{r}, t) = en_0 \int f(\mathbf{r}, \mathbf{p}, t) d^3 p, \quad \mathbf{j}(\mathbf{r}, t) = en_0 \int v f(\mathbf{r}, \mathbf{p}, t) d^3 p, \quad (7)$$

где  $n_0$  — плотность числа частиц.

Индукция электрического поля  $\mathbf{D}$  в рентгеновском диапазоне частот может быть записана с учётом трехмерной периодичности кристалла в виде

$$\mathbf{D}(\mathbf{r}, t) = \mathbf{E}(\mathbf{r}, t) + \iint d\mathbf{r}' dt' \chi(\mathbf{r}, \mathbf{r}'; t - t') \mathbf{E}(\mathbf{r}', t'), \quad (8)$$

где

$$\chi(\mathbf{r}, \mathbf{r}'; t - t') = \int d\mathbf{k} d\omega \sum_{\tau} \chi_{\tau}(\mathbf{k}, \omega) e^{i\mathbf{k}(\mathbf{r} - \mathbf{r}') - i\tau t - i\omega t}, \quad (9)$$

$$\chi_{\tau}(\mathbf{k}, \omega) = -\delta(\mathbf{k}) \frac{4\pi e^2}{m\omega^2} \frac{1}{\Omega_0} \sum_n e^{i\tau R_n} e^{-\frac{1}{2}W(\tau)} \left\{ F_n(\tau) + \Delta f'(\omega) + \Delta f''(\omega) \right\}, \quad (10)$$

где  $\Omega_0$  — объём элементарной ячейки;  $R_n$  — координата  $n$ -го атома в ней;  $W(\tau)$  — фактор Дебая—Уоллера;  $F_n(\tau)$  — структурный фактор;  $\Delta f'(\omega)$ ,  $\Delta f''(\omega)$  — аномальные дисперсионные поправки [13].

Уравнения Максвелла удобнее записать в фурье-пространстве. Из (4), (8), (9) следует система уравнений, соответствующая набору векторов обратной решетки,

$$(\omega^2 - k_h^2) E_h + k_h (k_h \cdot E_h) + \omega^2 \sum_{\tau} \chi_{h-\tau} E_{\tau} = -4\pi i \omega j(k_h, \omega), \quad (11)$$

где  $k_h = k + h$ ,  $E_h = E(k + h, \omega)$ , а суммирование идет по векторам обратной решетки.

При условии, что соотношение Вульфа—Брэгга выполнено только для одного вектора обратной решетки, система уравнений (11) сводится к двум уравнениям для полей (двузволновое приближение [13]). Можно показать, что при выполнении условия

$$\begin{aligned} & (\omega^2(1 + \chi_0) - k^2) (\omega^2(1 + \chi_0) - k_{\tau}^2) - \omega^4 \chi_{\tau} \chi_{-\tau} \ll (\omega^2(1 + \chi_0) - k^2) \times \\ & \times (\omega^2(1 + \chi_0) - k_{\tau}^2) - (k k_{\tau})^2 \chi_{\tau} \chi_{-\tau} \end{aligned} \quad (12)$$

имеют место соотношения  $E \approx e_{\sigma} E$ ,  $E_{\tau} \approx e_{\sigma} E_{\tau}$ ,  $E = E \cdot e_{\sigma}$ ,  $E_{\tau} = E_{\tau} \cdot e_{\sigma}$ ,  $e_{\sigma} = (k \times k_{\tau}) / |k \times k_{\tau}|$  — орт  $\sigma$ -поляризации. Скалярные амплитуды удовлетворяют при этом системе уравнений

$$(k^2 - \omega^2(1 + \chi_0)) E - \omega^2 \chi_{-\tau} E_{\tau} = 4\pi i \omega j_{\sigma}, \quad (13a)$$

$$\begin{aligned} & -\omega^2 \chi_{\tau} E + (k_{\tau}^2 - \omega^2(1 + \chi_0)) E_{\tau} = 4\pi i \omega j_{\tau\sigma}, \\ & j_{\sigma} = j(k, \omega) \cdot e_{\sigma}, \quad j_{\tau\sigma} = j(k_{\tau}, \omega) \cdot e_{\sigma}. \end{aligned} \quad (13b)$$

Выберем систему координат так, чтобы плоскость уз совпадала с плоскостью дифракции. В этом случае  $e_{\sigma} = x$ .

Для построения линейной электродинамики системы достаточно решить уравнения движения в линейном по полю излучения приближении. Используя модель бесконечно широкого пучка, запишем

$$f(r, p, t) = f_0(p) + \sigma f(r, p, t), \quad \sigma t \sim E, \quad \sigma f \ll f_0. \quad (14)$$

Из (6), (14) следует

$$\left( \frac{\partial}{\partial t} + v \frac{\partial}{\partial r} \right) \sigma f + \frac{dp}{dt} \frac{df_0}{dp} = 0. \quad (15)$$

Совершим преобразование Фурье-уравнения (15) и выражения (7) для тока. Выразим возмущение функции распределения из (15) через  $E(k, \omega)$  (с учетом (4), (6)) и подставим его в (13). При условии, что разброс по скоростям  $v_{th}$  удовлетворяет соотношениям:

$$k \cdot v_{th} \ll \Omega, \quad k \cdot v_{th} \ll \tau \cdot u_0, \quad (16)$$

получим дисперсионное уравнение в виде

$$\left[ k^2 - \omega^2 (1 + \chi_0 - p^3 I(k, \omega)) \right] \left[ k_{\tau}^2 - \omega^2 (1 + \chi_0) \right] - \omega^4 \chi_{\tau} \chi_{-\tau} = 0, \quad (17)$$

$$I(k, \omega) = \omega \int \frac{df_0}{du} \frac{du}{(k \cdot s)u - \omega + \Omega}, \quad s = u/u, \quad p^3 = \frac{\omega_p^2 a_w^2}{2\omega^2 \gamma \gamma_{||}^2},$$

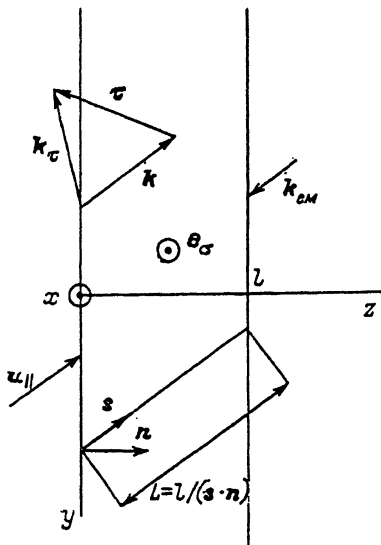


Рис. 1. Геометрия задачи.

$p$  — так называемый параметр Пирса, определяющий взаимодействие электромагнитной волны с пучком;  $\omega_p^2 = (4\pi e^2 - n_0)/m$  — плазменная частота пучка.

Заметим, что для выполнения (16) достаточно лишь  $\Delta y/\gamma \ll 1$ . Соотношение (12) не выполняется для отражения назад  $k_\tau \approx -k$ . Однако в выбранной нами геометрии  $u_{||} \cdot x = 0$ ,  $\tau \cdot x = 0$ ,  $\theta = 0$  как дисперсионное уравнение (17), так и все последующие результаты можно применять и для рассеяния назад.

Пусть кристалл имеет форму плоскопараллельной пластинки толщины  $L$ . Длину пути частицы внутри кристалла обозначим через  $L = l/(s \cdot n)$ , где  $n = z$  — единичный вектор нормали к поверхности кристалла (рис. 1). В настоящей работе мы рассмотрим только случай слабого усиления, когда  $k^{\parallel}L \ll 1$ , где  $k^{\parallel}$  — мнимая часть решения дисперсионного уравнения (17). В дальнейшем мы исследуем случай, когда разброс пучка по скоростям удовлетворяет условию

$$k \cdot v_{th} \ll 1/L. \quad (18)$$

Назовем этот случай режимом “горячего” пучка (отметим, что благодаря  $L|\tau|, L\Omega \gg 1$  условия (16) и (18) согласуются). Проделав интегрирование в (17), находим дисперсионное уравнение в режиме “горячего” пучка

$$\left[ k^2 - \omega^2 \left( 1 + \chi_0 + \frac{2p^3}{v_{th}^3} \left( 1 - i\sqrt{\pi} \frac{(ku_0 - \omega + \Omega)}{v_{th}} \right) \right) \right] \left( k_\tau^2 - \omega^2 (1 + \chi_0) - \omega^4 \chi_\tau \chi_{-\tau} \right) = 0.$$

При вычислении интеграла по скоростям (17) мы использовали гауссову функцию распределения

$$f_0(u) = \frac{1}{\sqrt{\pi} v_{th}} e^{-(u-u_0)^2/v_{th}^2}$$

и полагали, что

$$\frac{|k\omega - \Omega + \Omega|}{v_{th}} \ll 1.$$

## 2. Границные условия. Условия генерации

Пусть волновой вектор падающей волны  $\mathbf{k}_0 = \omega \mathbf{s}$ . Из непрерывности волнового поля на границе следует, что волновой вектор внутри кристалла  $\mathbf{k} = \mathbf{k}_0 + \omega \epsilon \mathbf{n}$ , причем в силу  $|\chi_0|, |\chi_\tau| \ll 1$  имеет место  $\epsilon \ll 1$ . Вводя обозначения  $\gamma_0 = \mathbf{k}_0 \cdot \mathbf{n} / \omega$ ,  $\gamma_1 = (\mathbf{k}_0 + \boldsymbol{\tau}) \cdot \mathbf{n} / \omega$ ,  $\beta = \gamma_0 / \gamma_1$ ,  $\alpha = [(k_0 + \boldsymbol{\tau})^2 - \omega^2] / \omega^2$ ,  $\chi_1 = \chi_0 - \alpha$ ,  $\delta = \gamma_0 \epsilon$ ,  $\delta = (1 - u_0) - \left(\frac{\Omega}{\omega}\right)$ , перепишем в более удобном виде дисперсионное уравнение

$$\left(\delta + |\beta| \frac{\chi_1}{2}\right) \left( \delta \left(1 + \frac{2i\sqrt{\pi} p^3}{v_{th}^3}\right) - \frac{\chi_0}{2} - \frac{2p^3}{v_{th}^2} \left(1 + i\sqrt{\pi} \frac{\delta_0}{v_{th}}\right) \right) + \frac{|\beta| \chi_\tau \chi_{-\tau}}{4} = 0. \quad (19)$$

Записывая уравнение (19), мы учли, что в рассматриваемой нами геометрии Брэгга (дифрагированная волна выходит через входную поверхность кристалла)  $\beta < 0$ .

Решение относительно  $\delta$  дисперсионного уравнения (19) дает поправку к вакуумной величине волнового вектора, обусловленного взаимодействием электромагнитной волны с кристаллом и пучком. Общее решение, описывающее расстояние внешней волны с напряженностью поля  $E = E_0 x e^{i(k_0^r - \omega t)}$ , на системе кристалл—пучок имеет вид

$$E = x e^{i(k_0^r - \omega t)} \sum_{j=1}^2 (E_j + E_\tau e^{i\tau_j^r}) e^{i\delta_j \omega z / \gamma_0}, \quad (20)$$

причем в соответствие с (13б)

$$E_\tau_j = E_j \frac{\chi_\tau}{2\delta_j + |\beta| \chi_1}. \quad (21)$$

Для нахождения амплитуд полей внутри кристалла необходимо использовать граничные условия. В геометрии Брэгга этими условиями являются 1) непрерывность поля  $E$  на входной границе

$$\sum_{j=1}^2 E_j = E_0, \quad (22)$$

2) непрерывность поля  $E_\tau$  на выходной границе, которая с учетом (21) приводит к

$$\sum_{j=1}^2 E_j e^{i\delta_j \omega L} / (2\delta_j + |\beta| \chi_1) = 0. \quad (23)$$

Решение (22), (23) имеет вид

$$E_1 = \frac{E_0 e^{i\delta_2 \omega L} (\delta_1 + |\beta| \chi_1 / 2)}{D},$$

$$E_2 = - \frac{E_0 e^{i\delta_1 \omega L} (\delta_2 + |\beta| \chi_1 / 2)}{D}, \quad (24)$$

$$D = (\delta_1 + |\beta| \chi_1 / 2) e^{i\delta_2 \omega L} - (\delta_2 + |\beta| \chi_1 / 2) e^{i\delta_1 \omega L} \quad (25)$$

Если знаменатель в (24) обращается в нуль, то даже при нулевой амплитуде падающего извне поля  $E_0$  амплитуды  $E_1, E_2$  внутри кристалла могут быть ненулевыми. Это соответствует явлению самовозбуждения (генерации), возникающему благодаря наличию РОС. Поэтому уравнение  $D = 0$  будем называть условием генерации.

### 3. Порог генерации

Напомним, что фурье-компоненты поляризуемости кристалла имеют следующий вид:

$$\chi_0 = |\chi'_0| + i|\chi''_0|, \chi_{\pm\tau} = -|\chi'_{\pm\tau}| + i|\chi''_{\pm\tau}|, |\chi''_0|, |\chi''_\tau| \ll |\chi'_0|, |\chi'_\tau|.$$

Взаимодействие рентгеновской волны с кристаллом и пучком характеризуется рядом безразмерных параметров. Так, параметры  $|\chi'_0|, |\chi'_\tau|$  определяют преломление и отражение волны кристаллическими плоскостями, параметры  $|\chi''_0|, |\chi''_\tau|$  — поглощение волны веществом кристалла, параметр Пирса  $p$  — усиление волны за счет взаимодействия с электронным пучком. Между ними имеет место следующее соотношение:

$$p, |\chi''_0|, |\chi''_\tau| \ll \frac{1}{\omega L} \ll |\chi'_\tau|, |\chi'_0| \ll 1. \quad (26)$$

Исследуем далее случай, когда для корней дисперсионного уравнения (19) выполняется условие

$$\sqrt{|\chi''_0| |\chi'_\tau|} \ll \delta'_2 - \delta'_1 \ll |\chi'_\tau|. \quad (27)$$

Как видно из (19), это условие реализуется вблизи следующих значений параметра  $\alpha$ :

$$\alpha_{\pm} = \frac{1}{|\beta|} \left( \pm 2 \sqrt{|\beta|} |\chi'_\tau| - |\chi'_0| (1 + |\beta|) + \frac{4p^3}{v_{th}^3} \right), \quad (28)$$

т. е. вблизи краев полосы непропускания ( $p^3 / v_{th}^3 \ll |\chi'_\tau|$ ).

Решения условия генерации с учетом (26), (27) имеют вид 1) при  $\alpha = \alpha_+$

$$\frac{2\sqrt{\pi} p^3}{v_{th}^3} (\delta_+ - \delta_0) \omega L = \mu_+ \omega L + \frac{8\pi^2 n^2}{\omega^2 L^2 |\chi'_\tau|^2 |\beta|}, \quad (29)$$

2) при  $\alpha = \alpha_-$

$$\frac{2\sqrt{\pi} p^3}{v_{th}^3} (\delta_- - \delta_0) \omega L = \mu_- \omega L + \frac{8\pi^2 h^2}{\omega^2 L^2 |\chi'_\tau|^2 |\beta|}, \quad (30)$$

где

$$\delta_{\pm} = \pm \frac{|\chi'_\tau| \sqrt{|\beta|}}{2} - \frac{|\chi'_0|}{2}, \quad \mu_{\pm} = |\chi''_0| \frac{(1 + |\beta|)}{2} \pm |\chi''_\tau| \sqrt{|\beta|}.$$

Уравнения (29), (30) являются амплитудными условиями генерации. Кроме того, для удовлетворения условию генерации требуется выполнение фазового условия

$$\delta'_1 = \delta'_2 = \frac{2\pi n}{\omega L}, \quad n = 1, 2, \dots \quad (31)$$

#### 4. Обсуждение

4.1. Анализ условий генерации. Условие (31) приводит к тому, что продольная структура собственных мод оказывается близкой по форме к стоячей волне, т. е.

$$|E|^2, |E_t|^2 \sim \cos^2 \frac{2\pi n}{\omega L} (z-L).$$

Это условие, таким образом, аналогично хорошо известному условию возникновения стоячей волны в зеркальном резонаторе. Обсудим смысл формул (29), (30). Первое слагаемое в правой части формул представляет собой коэффициент поглощения на краях запрещенной области  $\alpha_- < \alpha < \alpha_+$ . На рис. 2 показано стандартное графическое представление решения граничной задачи дифракции [13]. На кристалл падает из вакуума волна с волновым вектором  $k_0$ , проведен перпендикуляр к границе кристалла (сфера Лауз, имеющая центр в начале координат обратной решетки и радиус  $|k_0| = \omega$ , показана на рис. 2 штриховой линией). Каждая точка пересечения этого перпендикуляра с гиперболой отвечает волновому вектору  $k$  внутри кристалла, соответствующему вектору  $k_0$  падающей волны. Прямые, перпендикулярные границе, проведены на рис. 2 так, что расстояние между точками пересечения с гиперболами составляет  $\delta'_2 - \delta'_1 = 2\pi / \omega L$ , т. е. соответствует условию (31). Поскольку расстояние между вершинами гипербол порядка  $|\chi'_t|$ , а  $2\pi / \omega L \ll |\chi'_t|$ , то секущие перпендикуляры, изображенные в реальном масштабе, выглядели бы касательными к гиперболам. На рис. 2 представлена также зависимость показателя поглощения  $\mu$  от значения  $\alpha$  отклонения от точного условия Вульфа–Брэгга. Разница в величине поглощения между случаями  $\alpha = \alpha_+$  и  $\alpha = \alpha_-$  наиболее ярко проявляется при симметричной дифракции  $|\beta| = 1$ , а именно поглощение в случае  $\alpha = \alpha_+$  оказывается значительно меньше, чем в случае  $\alpha = \alpha_-$  (для основных отражений  $|\chi''_0| \approx |\chi''_{\tau}|$ ). Это отражает известный факт асимметрии показателя поглощения

при отражении по Брэггу, когда интерференция волн  $E, E_t$  приводит к образованию стоячей волны либо с узлами на кристаллических плоскостях ( $\alpha = \alpha_+$  — аномальное прохождение), либо с пучностями на кристаллических плоскостях ( $\alpha = \alpha_-$  — аномальное поглощение) [13].

Второе слагаемое в правой части (29), (30) равно (при выполнении (31)) отношению плотности энергии электромагнитного поля, теряемой в единицу времени через границы кристалла, к средней плотности энергии внутри резонатора РОС. Аналогом этих потерь в обычном зеркальном резонаторе являются потери, обусловленные отличием от единицы коэффициента отражения зеркал. Левая часть формул (29), (30) представляет собой коэффициент слабого

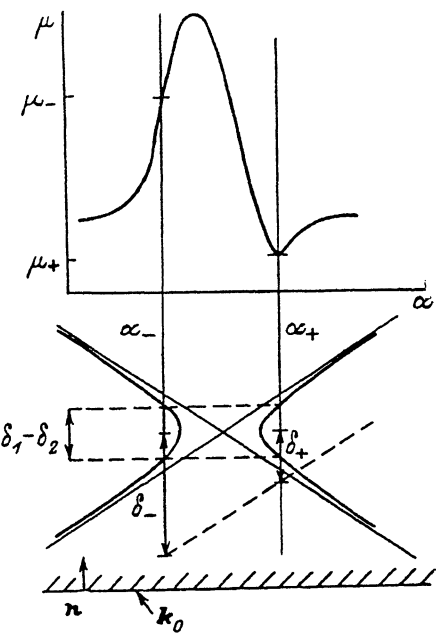


Рис. 2. Амплитуды волновых векторов собственных мод задачи и их коэффициенты поглощения.

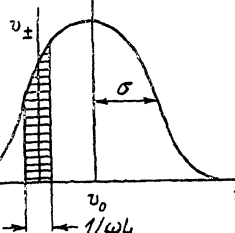
$f_0(v)$ 

Рис. 3. Функция распределения пучка и область резонансного взаимодействия с пондеромоторной волной, имеющей фазовую скорость  $u_{\pm}$ .

усиления в режиме горячего пучка. Стоящая в скобках величина  $\delta_{\pm} - \delta_0 = u_0 - u_{\pm}$ ,  $u_{\pm} = \omega / (k_{\pm} + k_w)$ , т. е. является разностью между средней скоростью пучка и фазовой

скоростью волны пондеромоторного потенциала (рис. 3). Выполнение условий генерации возможно только при  $u_0 > u_{\pm}$ . Смысль этого соотношения очевиден. Действительно, частицы, имеющие скорости  $u > u_{\pm}$ , усиливают волну, а  $u < u_{\pm}$  — поглощают волну. Поскольку при  $u_0 > u_{\pm}$  число частиц с  $u > u_{\pm}$  больше, чем с  $u < u_{\pm}$ , то разностным эффектом является усиление волны. Величины векторов  $k_{\pm} = \omega(1 + \delta_{\pm})$ , определяющих фазовую скорость пондеромоторного потенциала, соответствуют краям поглощения (поправки  $\delta_{\pm}$  к вакуумному значению волнового вектора показаны на рис. 2). Таким образом, смысл пороговых условий (29), (30) совершенно естествен: рост поля за счет усиления в активной среде равен потерям на поглощение и "вытекание" энергии через границы.

Построенная нами теория предполагает возможность пренебрежения интегралом столкновения в кинетическом уравнении (5). Такое приближение успешно используется, например, в плазменной электронике. В кристалле, где плотность рассеивателей много порядков выше, чем в плазме, применимость такого приближения ограничена. Найдем максимальную длину  $L$ , на которой еще допустимо пренебрежение интегралом столкновений.

4.2. Влияние многократного рассеяния. В результате многократного упругого рассеяния на атомах кристалла электроны пучка изменяют направления движения. Средняя величина квадрата угла многократного рассеяния определяется формулой

$$\delta_s^2 = \frac{E_s^2}{m^2 \gamma^2 L_R^2}, \quad (32)$$

где  $E_s = 21$  МэВ,  $L_R$  — радиационная длина,  $z$  — глубина проникновения электронов в кристалл.

Величина средней продольной скорости в свою очередь изменяется в соответствии с формулой

$$u_{||} = u_{||}(0) \left(1 - \frac{\theta_s^2(z)}{2}\right).$$

В усиливании (поглощении) волны в этом случае принимают участие только "резонансные" частицы пучка, т. е. те, которые находятся в слое толщины  $\Delta z \sim 1/\omega L$  вокруг  $u_{\pm}$ . Может показаться, что как только "резонансные" частицы выйдут благодаря столкновениям из этого слоя (т. е. при  $\theta_s^2(z) \sim 1/\omega z$ ) усиление прекратится. Надо, однако, учитывать, что в резонансный слой войдут другие частицы. На рис. 4 схематически показана функция распределения  $f_0(u, z)$  после прохождения пучком расстояния  $z$  в кристалле. Штриховой линией обозначена начальная функция распределения  $f_0(u, 0)$ . Кроме резонансных частиц (область, закрашенная черным цветом) на функции распределения заштрихована область, содержащая частицы, бывшие резонансными при  $z=0$ . Проходя через кристалл, функция распределения сдвигается в сторону уменьшения продольной скорости, расплываясь по ширине (это показано стрелкой на рис. 4). Очевидно, что усиление будет преобладать над поглощением до тех пор, пока

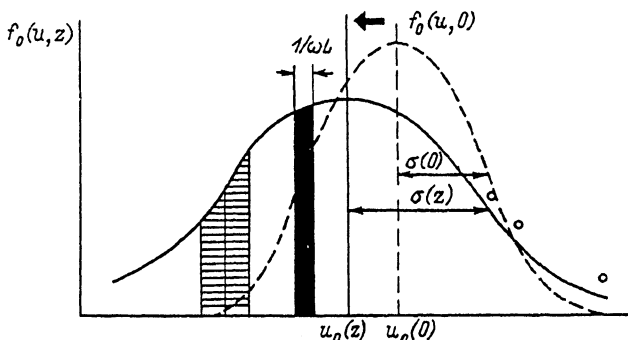


Рис. 4. Изменение функции распределения и области резонансного взаимодействия с ponderомоторной волной при прохождении пучка электронов через среду.

$$\frac{\theta_s^2(z)}{2} < u_0(0) - u_{\pm}. \quad (33)$$

Для оценки по порядку величины положим  $u_0 - u_{\pm} \sim v_{th}(0)$  и, используя (32), (33), найдем следующее ограничение на длину пути в кристалле в режиме горячего пучка:

$$L < \frac{m^2 \gamma^2}{E_s^2} L_R v_{th}(0). \quad (34)$$

Оценим пороговый ток, соответствующий (34). При оценках используем параметры кристалла LiH. Коэффициент поглощения в нем один из минимальных, а радиационная длина одна из максимальных среди известных кристаллов. Это обеспечивает минимальную пороговую плотность тока. При оценке ЛСЭ на электромагнитном вигтлере надо учитывать, что напряженность поля оптической волны ограничена стойкостью кристалла к лазерному разрушению. Напряженность поля накачки выберем  $E_e = 5.4 \cdot 10^4$  Гс. Эта напряженность соответствует кристаллическому полю для разрушения кристалла LiF (наиболее близкое к LiH вещество, исследованное на лазерное разрушение) на длине волны  $\lambda=1$  мкм [16]. В рассматриваемой нами постановке задачи имеется возможность изменения рабочей частоты резонатора РОС  $\omega = \tau / 2 \cos(\mu \parallel \tau)$  при изменении угла между  $u_{\parallel}$  и  $\tau$ . Учитывая эту возможность, запишем параметры кристалла в виде  $|\chi'_{\tau}| = \omega_{\tau}^2 / \omega^2$ ,  $|\chi''_0| \approx \mu / \omega^4$ ,  $\omega_{\tau}^2 = \text{const}$ ,  $\mu = \text{const}$ ,  $W = 0.143$  — фактор Дебая—Уоллера [13].

Значения констант  $\mu = 0.18 \cdot 10^{24} \text{ см}^{-4}$  и  $\omega_{\tau}^2 = 0.28 \cdot 10^{12} \text{ см}^{-2}$ , которые мы будем использовать в дальнейшем, получены с помощью расчета комплексной восприимчивости кристалла LiH на ЭВМ.

Подставляя (34) в (29), пренебрегая потерями на поглощение и используя соотношение  $j [\text{A}/\text{см}^2] = 1.7 \cdot 10^3 \omega_p^2 [\text{см}^{-2}]$ , находим для порогового тока

$$j \left[ \frac{\text{A}}{\text{см}^2} \right] > 4 \cdot 10^{14} \frac{\omega^3 \gamma^2}{\Delta \gamma a_w^2 L_R^2 \omega_{\tau}^4}.$$

Подстановка численных значений параметров приводит к

$$j \left[ \frac{\text{А}}{\text{см}^2} \right] > \frac{10^{16}}{a_w^2 \lambda^3 [\text{\AA}]}.$$

Для длины волны излучения  $\lambda = 1 \text{\AA}$  и характерных значений  $a_c = 5 \cdot 10^{-4}$  для электромагнитного и  $a_w = 1$  для магнитостатического вигглеров получаем соответственно  $j_e > 4 \cdot 10^{22} \text{ А/см}^2$ ,  $j_w > 10^{16} \text{ А/см}^2$ . Безнадежность схемы, требующей таких плотностей тока, не требует комментариев.

Губительного воздействия многократного рассеяния можно избежать, если пропускать пучок через щель в кристалле. Известно, что при диаметре отверстия  $d < \lambda \gamma_{\parallel}$  взаимодействие пучка с полем излучения происходит так же, как и в сплошной среде [17]. Оценим пороговые характеристики в этом случае.

4.3. Оценки параметров для порога генерации в щели. Прежде чем перейти непосредственно к оценкам, напомним, что для применимости формулы (29) продольный разброс по скоростям должен удовлетворять условию  $\Delta v > \Delta v_{cr}$ ,  $\Delta v_{cr} \approx 1/\omega L$ . Удобно переписать это условие в виде

$$\frac{\Delta y}{\gamma_{\parallel}} > (\frac{\Delta y}{\gamma_{\parallel}})_{cr}, \quad (\frac{\Delta y}{\gamma_{\parallel}})_{cr} = \gamma_{\parallel}^2 \frac{1}{\omega L}.$$

В дальнейшем мы положим для определенности

$$(\frac{\Delta y}{\gamma_{\parallel}}) = 5 (\frac{\Delta y}{\gamma_{\parallel}})_{cr}. \quad (35)$$

Наличие связи между продольным и поперечным движением в ЛСЭ налагивает ограничения и на поперечный угловой разброс. Удобно сопоставить с угловым разбросом соответствующий энергетический разброс  $(\Delta y / \gamma_{\parallel})_e = \gamma_{\parallel}^2 \langle \theta^2 \rangle / 2$  и записать условие пренебрежения угловым разбросом в виде  $(\Delta y / \gamma_{\parallel})_e \leq \Delta y / \gamma_{\parallel}$ , где  $\Delta y / \gamma_{\parallel}$  определяется формулой (35).

Ни плотность тока, ни разброс  $(\Delta y / \gamma_{\parallel})_e$  не могут являться сами по себе характеристиками качества электронного пучка, поскольку эти величины не являются инвариантами ускорителя. Однако, зная их, можно получить инвариантную характеристику ускорителя — нормализованную яркость пучка

$$B_n = \frac{I}{\pi^2 \epsilon_n^2} = \frac{j}{2\pi (\Delta y_{\parallel} / \gamma_{\parallel})_e}, \quad (36)$$

где  $I$  — ток,  $\epsilon_n = \gamma r \langle \theta \rangle$  — нормализованный эмиттанс,  $r$  — радиус пучка.

Из (29), (35), (36), подставляя параметры кристалла LiH, получим следующую формулу для пороговой нормализованной яркости пучка:

$$B_n \left[ \frac{\text{А}}{\text{см}^2 \cdot \text{рад}^2} \right] = 1.35 \cdot 10^6 \frac{\tilde{\lambda}_{\parallel}^{3/2} [\text{мкм}]^{3/2} [\text{\AA}]}{L [\text{см}]} \frac{(1 + a_e^2)^{1/2}}{a_e^2} \times \\ \times \left( (1 + |\beta|) / 2 - e^{-w} \sqrt{|\beta|} + 0.073 / \lambda^5 [\text{\AA}] L^3 \right), \quad (37)$$

где

$$\tilde{\lambda}_w = \begin{cases} \lambda_w & \text{— для магнитостатического вигглера,} \\ \frac{\lambda_e}{1 + n(\lambda_e) u_0} & \text{— для электромагнитного вигглера.} \end{cases}$$

Ускоритель			Вигглер		Параметры дифракции				
Енергия E, ГэВ	Нормализованная яркость $B_n$ , $\frac{A}{\text{см}^2 \cdot \text{рад}^2}$	Энергетический разброс $\frac{\Delta \gamma}{\gamma}$	Плотность тока j, $A/\text{см}^2$	Длина волны, $\lambda_w$ , мм	Напряженность поля $B_w$ , кГс	Плотность дифракции, LiH	Параметр асимметрии, $ \beta $	Ширина щели в кристалле $\alpha$ , Å	Длина волны излучения $\lambda$ , Å
5	$2 \cdot 10^9$	$7.5 \cdot 10^{-3}$	$9.4 \cdot 10^7$	1	17.5	(220)	9	860	0.15

В случае магнитостатического вигглера не удается использовать преимущество симметричной дифракции — эффект Бормана. Рассмотрим условие синхронизма как уравнение для частоты излучения ( $|\chi_0'| = \omega_0^2 / \omega^2$ ). Его решение имеет вид

$$\omega = \gamma_R^2 \left( \Omega \pm \sqrt{\Omega^2 - (\omega_0^2 - \sqrt{|\beta|} \omega_\tau^2) / \gamma_R^2} \right),$$

где  $\gamma_R$  — лоренц-фактор, соответствующий скорости  $v_R$  резонансных с полем частиц, т. е. таких, для которых  $(k \cdot s)v_R - \omega + \Omega = 0$ . Как видно из (43), при  $|\beta|=1$  излучение возможно только при  $\gamma_R > \sqrt{\omega_0^2 - \omega_\tau^2} / \Omega$ . Минимальная возможная частота излучения в симметричном случае заметно превышает частоту, соответствующую минимуму яркости. Это делает нецелесообразным использование симметричной дифракции. Поэтому в проводимых оценках мы положили параметр асимметрии  $|\beta| = \omega_0^2 / \omega_\tau^4$ . При таком значении  $|\beta|$  показатель преломления сравнивается с единицей и ограничение по энергии отпадает. Несмотря на увеличение поглощения по сравнению с симметричным случаем, этот вариант оказывается более предпочтительным. В таблице приведены параметры для случая  $\lambda_w=1$  мм, что соответствует минимальному реализованному шагу вигглера [18]. Полученная пороговая плотность тока (в особенности в случае лазерного вигглера) значительно меньше, чем в других предложенных схемах получения индуцированного рентгеновского излучения на релятивистских частицах [21]. Наиболее существенным параметром для реализации режима индуцированного излучения оказывается не плотность тока, а яркость пучка. Значения яркости пучка, приведенные в таблице, не достигнуты в современной ускорительной технике. Для сравнения укажем, что самое высокое значение яркости среди линейных ускорителей составляет  $B_n = 10^4 A/\text{см}^2 \cdot \text{рад}^2$  [19]. По-видимому, самый яркий пучок среди проектируемых ускорителей рассчитывают получить на накопительном кольце в Lawrence Berkley Laboratory,  $B_n = 7 \cdot 10^7 A/(\text{см}^2 \cdot \text{рад}^2)$ , что все еще на порядок ниже приведенного в таблице (пороговая яркость для лазерного вигглера еще больше, чем для магнитостатического, кроме того, требуемые размеры щели в этом случае оказываются слишком малы  $d=70\text{\AA}$ , что делает применение лазерного вигглера малоперспективным, во всяком случае с точки зрения современной техники). Что касается параметров магнитного вигглера и щели, то они находятся на уровне достижений современной технологии.

#### Список литературы

- [1] Madey J. M. J. // J. Appl. Phys. 1971. Vol. 42. N 5. P. 1905—1913.
- [2] Free Electron Generation of Extreme Ultraviolet Coherent Radiation / Ed. J. M. J. Madey, C. Pellegrini. AIP Conf. Proc. 1984. N 118.
- [3] Cea-Banacloche J., Moore G. T., Scully O. M. // Proc. of Free Electron Generators of Coherent Radiation. SPIE. 1984. Vol. 453. P. 393-401.
- [4] Gea-Banacloche J., Moore G. T., Schlichter R. R. et al. // IEEE J. Quantum Electron. 1987. Vol. QE-23. N 6. P. 1558-1570.
- [5] Barbee T. W., Mrowska S., Hettrick M. C. // Appl. Opt. 1985. Vol. 24. N 6. P. 883—886.

- [6] Vinogradov A. V., Kozhevnikov I. V., Popov A. V. // Opt. Commun. 1983. Vol. 47. N 6. P. 361—363.
- [7] Newnam B. E., McVey, Goldstein J. C. // Nucl. Instrum. and Meth. 1987. Vol. A259.
- [8] Kogelnik H., Shank C. V. // J. Appl. Phys. 1972. Vol. 43. N 5. P. 2327—2335.
- [9] Yariv A. // Appl. Phys. Lett. 1974. Vol. 25. N2. P. 105—107.
- [10] Baryshevskii V. G., Feranchuk I. D. // Phys. Lett. 1984. Vol. A102. N 3. P. 141—144.
- [11] Барышевский В. Г., Дубовская И. Я. Тр. 25-го Всесоюз. совещания по физике взаимодействия заряженных частиц с кристаллами. М., 1986. С. 60—62.
- [12] Лишиц Е. М., Питаевский Л. П. Физическая кинетика. М.: Наука, 1979. 528 с.
- [13] Пинскер З. Г. Рентгеновская кристаллооптика. М.: Наука, 1982. 390 с.
- [14] Colson W. B. // Phys. Lett. 1977. Vol. A64. N 2. P. 190—192.
- [15] Sturrock P. A. Phys. Rev. 1958. Vol. 112. N 5. P. 1488—1503.
- [16] Маненков А. А., Прохоров А. М. // УФН. 1986. Т. 148. № 1. С. 179—211.
- [17] Гинзбург В. Л., Франк И. М. // ДАН СССР. 1947. Т. 56. № 7. С. 699—702.
- [18] Chen S. C., Bekefi G. // Appl. Phys. Lett. 1989. Vol. 54. P. 1299—1302.
- [19] Friedman A., Gover A., Kuriski G. et al. // Rev. Mod. Phys. 1988. Vol. 60. N 2. P. 471—535.
- [20] Adamski J. L., Gallagher W. J., Kennedy R. G. et al. // Proc. of Free Electron Generation of Coherent Radiation. SPIE. 1984. Vol. 453. P. 59—64.
- [21] Kim K. J., Bisognano J. J., Garren A. A. et al. // Nucl. Instr. Meth. 1985. Vol. A239. N 1. P. 54—61.

Научно-исследовательский институт  
ядерных проблем при Белорусском  
государственном университете  
им. В. И. Ленина  
Минск

Поступило в Редакцию  
2 апреля 1990 г.  
В окончательной редакции  
1 августа 1990 г.